

ترکیب شیمیایی و ویژگی‌های نوری آمفیبول‌های سدیمی - کلسیمی و کلسیمی

شیستهای بازیک منطقه شاهنشین، جنوب غرب زنجان

صادق درخش^۱، جواد ایزدیار^{*}^۱، ابوالفضل پورامیدی^۲، علی حاج ابوالفتح^۱، مهسا طهماسبی^۱

۱- گروه زمین‌شناسی، دانشکده علوم، دانشگاه زنجان، زنجان، ایران

۲- گروه معدن، دانشکده فنی، دانشگاه زنجان، زنجان، ایران

(دریافت مقاله: ۹۸/۱۰/۱۰، نسخه نهایی: ۹۸/۱۲/۱۴)

چکیده: منطقه شاهنشین در جنوب غرب زنجان و در مرز استان‌های زنجان و کردستان قرار دارد. بر اساس بررسی‌های سنگنگاری، شیستهای بازیک این منطقه شامل اکتینولیت شیست، اکتینولیت پیروکسن شیست، اکتینولیت پیروکسن گارنت شیست و اکتینولیت اپیدوت شیست هستند. اکتینولیت شیست‌ها فراوان‌ترین نوع شیست‌های بازیک هستند و از آمفیبول، موسکوویت، کلریت و آلبیت به عنوان کانی‌های اصلی تشکیل شده‌اند. در این شیست‌ها، آمفیبول‌ها در دو جایگاه بافتی مایل به شیستوارگی اصلی و هم راستا با شیستوارگی اصلی دیده می‌شوند. بررسی ویژگی‌های نوری آمفیبول‌ها نشان می‌دهد که از مرکز به سمت لبه بلور، مقادیر شکست مضاعف و زاویه خاموشی (c) کاهش یافته و رنگ غیر تداخلی از سبز مایل به آبی در راستا m در مرکز به سبز کمرنگ در لبه تغییر می‌کند. از سوی دیگر، بررسی ویژگی‌های شیمیایی آمفیبول‌ها نشان می‌دهد که مرکز آن دارای ترکیب وینچیت - ریشتزیت است، در حالی که لبه‌ها دارای ترکیب اکتینولیت هستند. بنابراین، تغییر ویژگی‌های نوری ارتباط مستقیمی با تغییر ترکیب شیمیایی آمفیبول‌ها دارد که بیشتر بر اثر عکس جانشینی گلوکوفانی $\text{Al}^{\text{Oct}}\text{Na}_1^{\text{M}4}\text{Ca}^{\text{M}4}\text{Mg}^{\text{Oct}}$ و جانشینی پلازیوکلازی $\text{Na}_1^{\text{M}4}\text{Si}_1^{\text{T}}\text{Ca}^{\text{M}4}\text{Al}^{\text{T}}$ (Na^{M4}Si^T) رخ می‌دهد. محاسبات فشار - دما برای ترکیب شیمیایی مرکز آمفیبول‌ها نشان دهنده شرایط میانگین فشار ۱۴ °C و دما ۴۰ kbar است در حالی که لبه آن‌ها در شرایط میانگین ۴ °C و ۵۰ °C تشكیل شده‌اند. از این‌رو، ساختار منطقه‌بندی نوری و شیمیایی در آمفیبول‌های شیست‌های بازیک منطقه شاهنشین برآمده از تغییر شرایط فشار - دما دگرگونی است.

واژه‌های کلیدی: آمفیبول‌های سدیمی - کلسیمی و کلسیمی - شیستهای بازیک؛ ویژگی‌های نوری؛ شاهنشین؛ زنجان.

ظرفیت ۲ برای M1 و ۱ برای M3 کاتیون‌های Mn²⁺ و Fe²⁺ و Mg واقع می‌شوند؛^۶ (M2) موقعیت هم‌آرایی شش‌تایی با ظرفیت ۲ می‌باشد و توسط کاتیون‌های Al³⁺, Ti, Fe³⁺ و Mg²⁺ پر می‌شوند و در موقعیت‌های هم‌آرایی چهارتایی Fe²⁺ با ظرفیت ۴ (T1)₄⁴(T2)₄⁴ کاتیون‌های Si و Al واقع می‌شوند.^[۴-۱]

این ساختار گستردۀ شیمی‌کانی و تنوع کاتیون‌های شرکت کننده در آن موجب تشكیل آمفیبول‌ها در شرایط متفاوت فشار و دمای دگرگونی از سنگ‌های اولیه دگرگونی می‌شوند.^[۱-۳]. همچنین این ساختار باز و ترکیب شیمیایی متعدد باعث

آمفیبول‌ها یکی از فراوان‌ترین کانی‌های تشکیل دهنده سنگ‌های دگرگونی هستند [۱-۳]. فرمول گستردۀ ساختاری آمفیبول‌ها عبارت است از:

$\text{A}^{12}(\text{M}4)_2^{6-8}(\text{M}1)_2^6(\text{M}2)_2^6(\text{T}1)_4^4(\text{T}2)_4^4\text{O}_{22}(\text{OH})_2$ در این فرمول A¹² نشانگر موقعیت هم‌آرایی دوازده‌تایی با ظرفیت ۱ می‌باشد و توسط کاتیون‌های K و Na پر می‌شود؛ (M4)₂⁶ نمایانگر موقعیت هم‌آرایی شش - هشت‌تایی با ظرفیت ۲ می‌باشد که کاتیون‌های Ca, Na, Mg و Fe²⁺ در آن قرار می‌گیرند؛ در موقعیت هم‌آرایی شش‌تایی (M1)₂⁶(M3)₁⁶ (M2) با

*نویسنده مسئول، تلفن: ۰۹۱۲۲۴۱۰۱۰۶، نمبر: ۰۲۴۳۰۵۴۰۰۲، پست الکترونیکی: izadyar@znu.ac.ir

روش بررسی
با انجام پیمایش‌های صحرایی، ۴۰ نمونه از شیسته‌های بازی منطقه شاهنشین برداشت و با تهیه مقطع نازک از نظر کانی-شناختی و بافتی بررسی شدند. به منظور تعیین ترکیب شیمیایی آمفیبول‌ها، یک نمونه از اکتینولیت شیست توسط دستگاه ریز پردازنده الکترونی (Cameca SX100) با سه کاتال WDS در مرکز پژوهشی KML مالزی تجزیه نقطه‌ای شدند. محاسبه دوباره تجزیه کانی‌ها، تعیین مقدار Fe^{3+} و محاسبه فعالیت اعضای نهایی کانی‌ها با استفاده از نرمافزار AX از هلند و پاول [۱۲] انجام شد.

زمین‌شناسی

منطقه شاهنشین در ۱۰۰ کیلومتری جنوب غرب شهر زنجان و در گستره طول‌های جغرافیایی "۰۰°۳۶'۲۷" تا "۰۰°۱۸'۳۶" و عرض‌های جغرافیایی "۰۰°۴۷'۵۸" تا "۰۰°۴۰'۴۷" و در ناحیه مرزی استان‌های زنجان و کردستان قرار دارد (شکل ۱). مجموعه سنگ‌های منطقه شاهنشین را می‌توان به سه گروه سنگ‌های دگرگون‌شده، دگرگون‌نشده و توده‌های نفوذی تقسیم نمود. سنگ‌های دگرگون‌شده دارای سن کرتاسه بوده و شامل شیسته‌های کرتاسه (K_4)، اسلیت و فیلیت (K_2) با میان لایه‌های از مرمر هستند [۱۳] (شکل ۲). سنگ‌های دگرگون نشده از کرتاسه پسین تا پلیوسن گسترش دارند و شامل شیل، آهک، سنگ‌های آتشفسانی کرتاسه پسین (K_1)، ماسه‌سنگ و کنگلومرا ائوسن (E) و الیگوسن (OL)، کنگلومرا، مارن، آهک و ماسه سنگ الیگومیوسن (Om_1), توف و گذازه‌های الیگومیوسن (Om_2) با ترکیب آندزیتی و ترکیب تراکی آندزیتی و بازالتی، کنگلومرا، ماسه‌سنگ، آهک، مارن و توف میوسن (M) و سرانجام کنگلومرا، مارن و توف پلیوسن (PL) هستند. قطعه‌هایی از اسلیت و فیلیت درون کنگلومرا و ماسه‌سنگ‌های ائوسن و الیگومیوسن دیده می‌شوند [۱۳] (شکل ۲). مجموعه سنگ‌های دگرگونی در شمال چهارگوش یاسوکند رخنمون دارند و بیشترین گسترش آن‌ها مربوط به واحد اسلیتی و فیلیتی است. مجموعه سنگ‌های غیردگرگونی در بخش‌های میانی و جنوبی چهارگوش یاسوکند رخنمون دارند و بیشترین گسترش آن‌ها مربوط به واحدهای رسوبی پلیوسن (PL) و الیگومیوسن (Om_1) است. ارتباط بین مجموعه‌های سنگی

می‌گردد که آمفیبول‌ها نسبت به تغییر شرایط ترمودینامیکی بیوژه فشار- دما حساس باشند و هرگونه تغییری را در خود ثبت کنند. این تغییرات اغلب به صورت ساختارهای منطقه-بندي شیمیایی در نتیجه جانشینی کاتیون‌ها در جایگاه‌های با هم‌آرایی متفاوت آمفیبول‌ها دیده می‌شوند و این ویژگی باعث می‌شود که از آمفیبول‌ها به طور گسترده‌ای برای تعیین شرایط و الگوهای دگرگونی استفاده گردد [۱۰-۵]. شایع‌ترین جانشینی‌های کاتیونی آمفیبول‌ها در اثر تغییر شرایط ترمودینامیکی طی دگرگونی عبارتندار جانشینی گلوکوفانی ($\text{NaAl}^{\text{VI}} \text{Ca}_{-1} \text{Mg}_{-1}$) شامل جانشینی Na به جای Ca در جایگاه M4 همراه با جانشینی Al^{VI} به جای Mg در جایگاه M2، جانشینی چرماتیتی ($\text{Al}^{\text{VI}} \text{Al}^{\text{IV}} \text{Mg}_{-1} \text{Si}_{-1}$) شامل جانشینی Al^{VI} به جای Mg در جایگاه M2 به همراه جانشینی $\text{Na Al}^{\text{IV}} \square_{-1}$ به جای Si در جایگاه T2، جانشینی ادنیتی ($\text{Al}^{\text{IV}} \square_{-1} \text{Si}_{-1}$) شامل جانشینی Na در جایگاه خالی A و جانشینی Al^{IV} به جای Si در جایگاه T1 [۳-۱] و [۵]. از سوی دیگر، رابطه بین ترکیب شیمیایی آمفیبول‌ها و ویژگی‌های نوری آن‌ها مدت‌ها پیش از تغییر شده است [۱۱]. با افزایش جانشینی Fe^{2+} به جای Mg در سری ترمولیت - فرواکتینولیت و همچنین در هورنبلند مقادیر زاویه بین دو محور نوری (2V)، زاویه خاموشی ($\text{m}\gamma$) و اختلاف راه نوری (Δ) کاهش یافته، در حالی که ضرایب شکست افزایش می‌یابند. در آمفیبول‌های سدیمی در سری میان اعضای نهایی گلوکوفان - ریبکت، با جانشینی $\text{Al} = \text{Fe}^{3+}$ و $\text{Mg} = \text{Fe}^{2+}$ و $\text{Fe}^{2+} \text{Fe}^{3+} \text{Mg}_{-1} \text{Al}_{-1}$ تغییر می‌کنند، برای مثال، جانشینی $\text{Al} = \text{Fe}^{3+}$ و $\text{Mg} = \text{Fe}^{2+}$ باعث افزایش ضرایب شکست و کاهش زاویه بین دو محور نوری می‌شود [۴]. این بررسی‌ها اغلب بر بلورهای مجزا با ترکیب همگن انجام شده و بیشتر پیرامون اثر رابطه جانشینی Fe^{2+} به جای Mg بر روی ویژگی‌های نوری آمفیبول بوده‌اند. وجود ساختارهای منطقه‌بندي شیمیایی‌های پیچیده‌تر و تغییر پیگیری دقیق تر رابطه بین جانشینی‌های ویژگی‌های نوری را فراهم آورد. طی بررسی‌های سنگ‌شناسی در شیسته‌های بازی منطقه شاهنشین، آمفیبول‌های با ساختار منطقه‌بندي شیمیایی دیده شدند که در این پژوهش ترکیب شیمیایی، ویژگی‌های نوری، رابطه بین ترکیب شیمیایی و ویژگی‌های نوری و چگونگی تشکیل آن‌ها بررسی می‌شود.

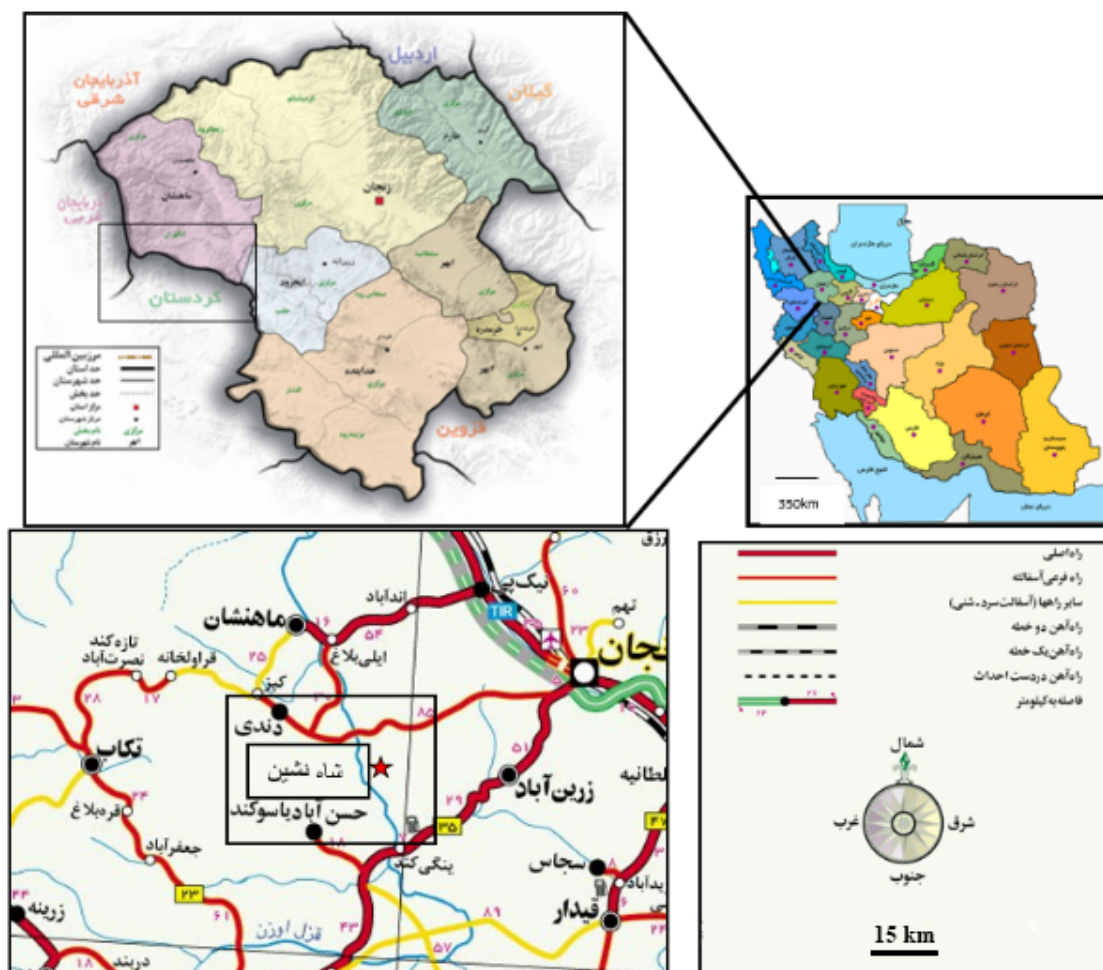
پیروکسن شیست، اکتینولیت پیروکسن گارنت شیست و اکتینولیت اپیدوت شیست تقسیم می‌شوند [۱۴]. فراوان ترین نوع شیست‌های بازی منطقه اکتینولیت شیست‌ها هستند که در این پژوهش، آمفیبول‌های موجود در آن‌ها بررسی شده‌اند. بافت غالب اکتینولیت شیست‌ها پورفیری غربالی ورقه نخ شکفتی است و از آمفیبول، آلبیت، موسکوویت و کلریت تشکیل شده‌اند (شکل ۳ الف). فلدسپارهای آلبیتی به صورت پورفیری غربالی دیده می‌شوند که گاهی میانبارهایی از آمفیبول در آن‌ها وجود دارند. پیرامون شکفته‌بلورهای آلبیتی، لبه فشارشی شامل کلریت و موسکوویت وجود دارد (شکل ۳ ب). آمفیبول‌ها به دو صورت بافتی دیده می‌شوند. گروه نخست به صورت شکفته بلورهای مایل نسبت به شیستوارگی اصلی بوده و این آمفیبول‌ها از لبه دارای تبدیل شدگی به کلریت هستند (شکل ۳ ب).

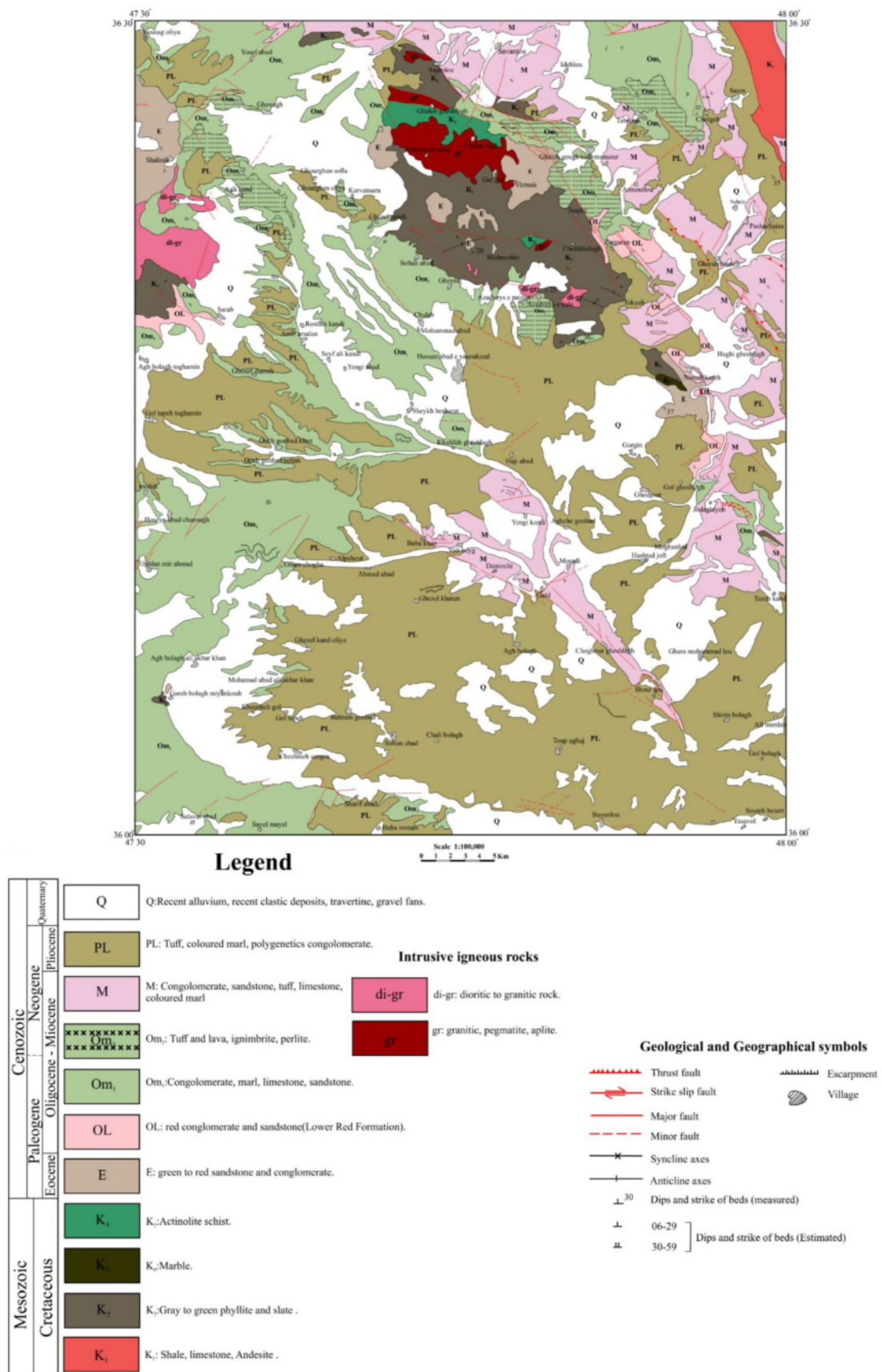
دگرگونی و غیردگرگونی چندان آشکار نیست، ولی در بعضی مکان‌ها، این ارتباط گسلی است. گروه سوم را توده‌های نفوذی منطقه تشکیل می‌دهند که رخنمون آن‌ها در شمال و غرب چهارگوش یاسوکند قابل دیده است. در شمال چهارگوش، توده‌های نفوذی گرانیتی در مجموعه دگرگونی کرتاسه نفوذ کرده‌اند، در حالی که توده‌های نفوذی با ترکیب دیوریتی تا گرانوپیوریتی در غرب چهارگوش درون واحدهای رسوبی الیگومیوسن نفوذ کرده‌اند. در هر دو مورد دگرگونی مجاورتی قابل دیده است [۱۳] (شکل ۱).

بحث و بررسی

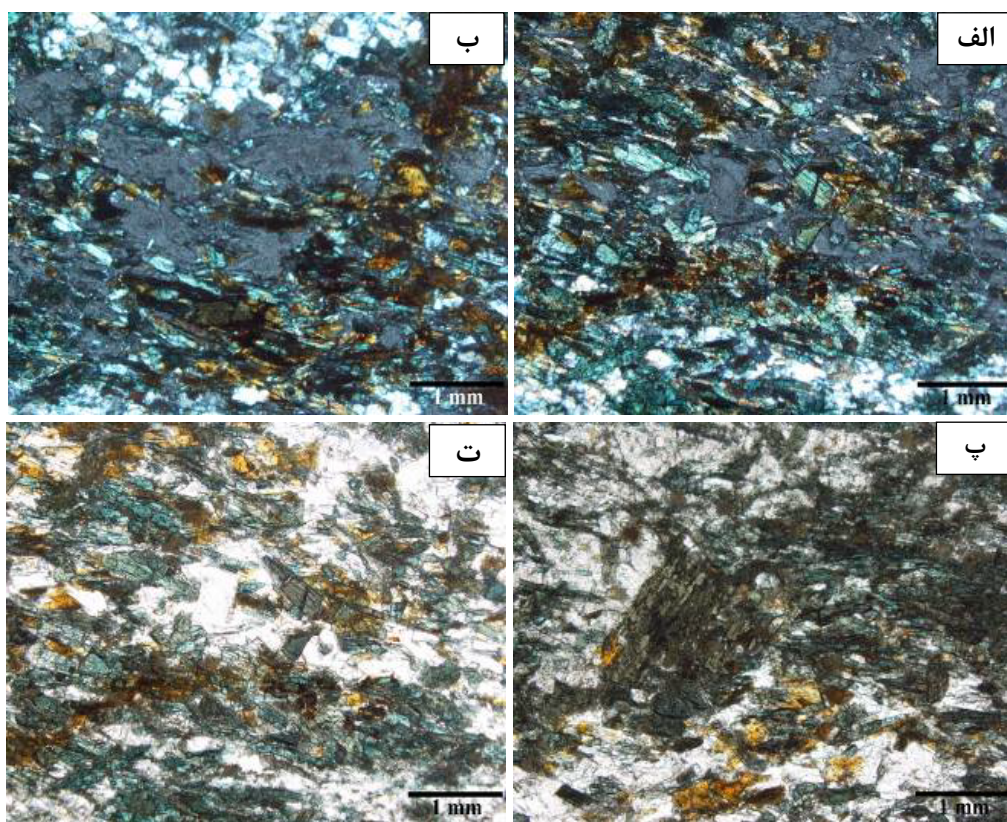
سنگنگاری

بر اساس بررسی‌های سنگنگاری، شیست‌های بازی منطقه شاهنشین به چهار گروه اکتینولیت شیست، اکتینولیت





شکل ۲ نقشه زمین‌شناسی ساده شده ۱:۱۰۰۰۰۰ یاسوکند (قجور) جایگاه منطقه مورد بررسی بر آن، برگرفته از مرجع [۱۳].



شکل ۳ تصاویر میکروسکوپی از شیسته‌های مورد بررسی نشان دهنده: (الف) بافت غالب پورفیری غربالی ورقه نخ شکفتی و مجموعه کانیایی آمفیبول، آلبیت، موسکوویت و کلریت در نور دو بار قطبیده؛ (ب) پورفیری غربالی‌های آلبیتی با میانبارهایی از آمفیبول و دارای لبه فشارشی از کلریت و موسکوویت در نور دوبار قطبیده؛ (پ) شکفته بلورهای آمفیبول مایل نسبت به شیستوارگی اصلی و تبدیل شدگی به کلریت از لبه در نور یک بار قطبیده؛ (ت) آمفیبول‌های موجود در راستای شیستوارگی اصلی با ساختار منطقه‌بندی در نور یک بار قطبیده. نامهای اختصاری کانی‌ها Chl: کلریت، Amp: آمفیبول، Ab: آلبیت و Ms: موسکوویت برگرفته از مرجع [۱۵] است.

درجه ۲ بر سه محور بلورشناسی منطبق بوده و یک صفحه آینه‌ای بر هر یک از این آنها عمود است [۱۶]. در بلورهای تک میل یکی از راستاهای اصلی ضریب شکست ($n\beta$) بر محور b بلورشناسی منطبق است در حالی که دو راستای دیگر ($n\beta$ و $n\alpha$) بر روی صفحه ac بلور قرار دارند. این امر باعث می‌شود که صفحه‌های موازی سطح (۰۱۰) خاموشی مایل داشته باشند و اغلب از این سطح برای تشخیص ترکیب شیمیایی آمفیبول‌ها استفاده می‌شود. آمفیبول‌ها در برش عرضی موازی سطح (۰۰۱) دارای خاموشی متقارن و در برش طولی موازی سطح (۱۰۰) دارای خاموشی مستقیم هستند [۱۷].

بر اساس بررسی‌های کانی‌شناسی نوری بر نمونه اکتینولیت شیست، آمفیبول‌ها در دو برش هندسی دیده می‌شوند که شامل برش طولی موازی محور c و عمود بر محور b بلورشناسی و برش عرضی عمود بر محور c و موازی محورهای b و

نوع دوم از آمفیبول‌ها در راستای شیستوارگی اصلی قرار داشته و اغلب از نظر نوری ساختار منطقه‌بندی دارند. این آمفیبول‌ها در مرکز دارای رنگ غیرتداخلی سبز مایل به آبی و در لبه سبز کمرنگ هستند (شکل ۳ ث). موسکوویت، کلریت و آمفیبول تشکیل دهنده شیستوارگی اصلی سنگ هستند. موسکوویت و کلریت در لبه فشارشی شکفته بلورهای آلبیت و آمفیبول نیز دیده می‌شوند (شکل‌های ۳ الف و ب).

ویژگی‌های نوری

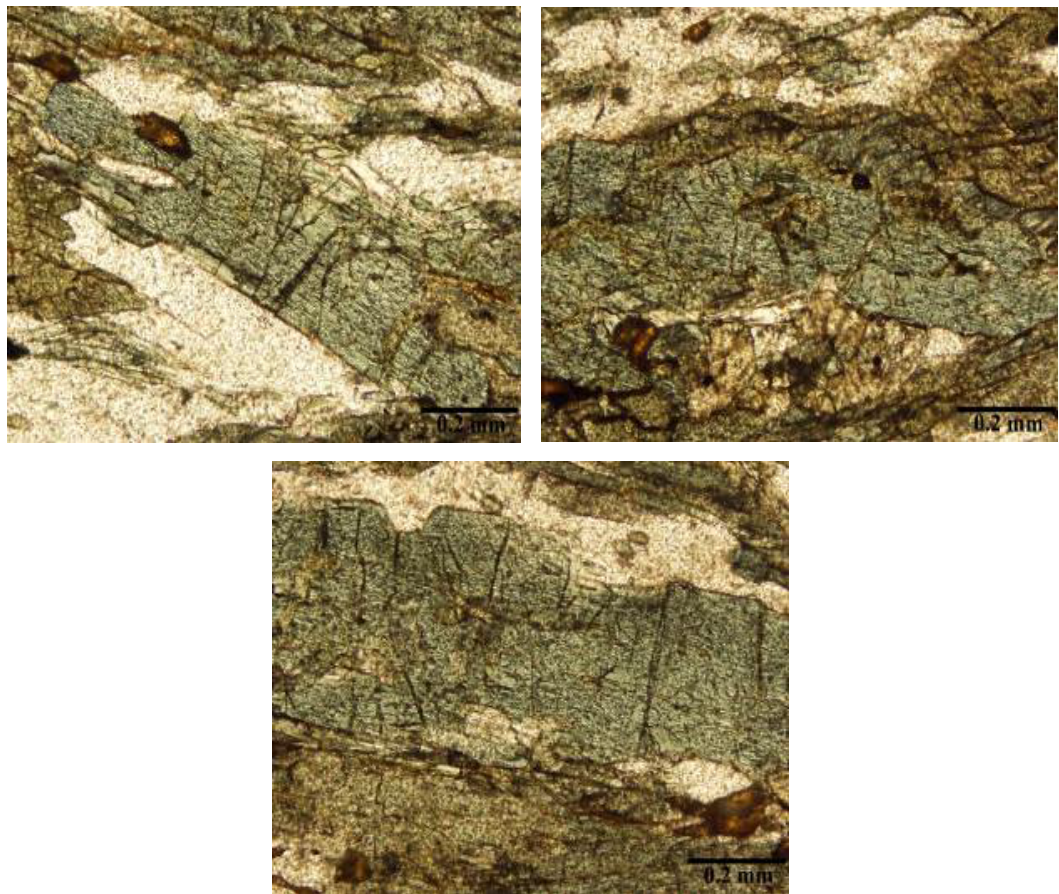
آمفیبول‌ها در دو سیستم بلوری منو تک میل و راستگوشی متبلور می‌شوند. آمفیبول‌های تک میل در رده منشوری متبلور می‌شوند که در آن یک محور چرخش درجه ۲ به عنوان محور b بلورشناسی است و محورهای a و c در صفحه آینه‌ای عمود بر b قرار دارند. این در حالی است که آمفیبول‌های راستگوشی در رده دومنشوری متبلور می‌شوند و در آن سه محور چرخش

اول تغییر کرده، مقدار شکست مضاعف از $0^{\circ}014$ به $0^{\circ}013$ کاهش یافته، زاویه خاموشی از 17° به 10° درجه کاهش یافته و رنگ غیرتداخلی در راستای $n\gamma$ در مرکز بلور سبز مایل به آبی و در لبه سبز مایل به زرد است. این در حالی است که رنگ غیرتداخلی در راستای $n\alpha$ در مرکز بلور سبز مایل به زرد و در لبه آن، زرد مایل به سبز است (شکل ۴ ب و جدول ۱).

در آمفیبول شماره ۴ از مرکز به سمت لبه کانی، رنگ تداخلی از نارنجی مایل به قرمز سری اول به خاکستری سری اول تغییر کرده، مقدار شکست مضاعف از $0^{\circ}018$ به $0^{\circ}011$ کاهش یافته، زاویه خاموشی از 15° به 10° درجه کاهش یافته و رنگ غیرتداخلی در راستای $n\gamma$ برای مرکز بلور سبز مایل به آبی و برای لبه آن سبز کم رنگ بوده، در حالی که رنگ غیرتداخلی در راستای $n\alpha$ برای مرکز بلور سبز مایل به زرد و برای لبه آن، زرد مایل به سبز است (شکل ۴ پ و جدول ۱).

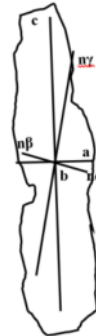
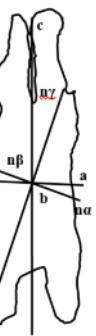
بلورشناسی هستند. برش‌های هندسی طولی موازی محور c و عمود بر محور b بلورشناسی ساختار منطقه‌بندی نوری را نشان می‌دهند. ویژگی‌های نوری شامل زاویه خاموشی (c)، $n\gamma$ ، شکست مضاعف و رنگ غیرتداخلی در راستاهای $n\alpha$ و $n\gamma$ برای سه بلور آمفیبول اندازه‌گیری شدند که نتایج در شکل ۴ و جدول ۱ آورده شده‌اند. در بلور آمفیبول ۱۲، از مرکز به سمت لبه کانی، رنگ تداخلی از قرمز نارنجی سری اول به خاکستری سری اول تغییر یافته، مقدار شکست مضاعف از $0^{\circ}018$ به $0^{\circ}010$ کاهش یافته، زاویه خاموشی از 21° به 16° درجه کاهش یافته و رنگ تداخلی در راستای $n\gamma$ در مرکز بلور سبز آبی و در لبه آن، سبز کمرنگ است، در حالی که رنگ غیرتداخلی در راستای $n\alpha$ در مرکز بلور سبز مایل به زرد و در لبه آن، زرد مایل به سبز است (شکل ۴ الف و جدول ۱).

در بلور آمفیبول شماره ۲ از مرکز به سمت لبه کانی، رنگ تداخلی از زرد مایل به نارنجی سری اول به خاکستری سری



شکل ۴ تصویر میکروسکوپی از چگونگی راستاگیری ضرایب شکست نسبت به راستای {۰۰۱} آمفیبول‌های دارای منطقه‌بندی (الف) آمفیبول ۱۲ ب) آمفیبول ۲، پ) آمفیبول ۴. a، b و c نشانگر محورهای بلورشناسی و $n\beta$ ، $n\alpha$ و $n\gamma$ نشانگر ضرایب شکست نوری هستند. تصاویر در نور یک بار قطبیده ثبت شده‌اند.

جدول ۱ ویژگی‌های نوری مرکز و لبه آمفیبول‌های شماره ۱۲، ۲ و ۴.

ویژگی‌های نوری	شماره آمفیبول	۱۲	۲	۴
انطباق محور بلورشناسی با راستاهای نوری بلور				
نوع برش	برش طولی موازی با محور [۰۰۱c]			
چند رنگی	٪ سبز آبی (مرکز) ٪ سبز کمرنگ (لبه) ٪ سبز زرد (مرکز) ٪ سبز مایل به زرد کم - رنگ (لبه)	٪ سبز آبی (مرکز) ٪ سبز کمرنگ (لبه) ٪ سبز زرد (مرکز) ٪ سبز مایل به زرد کم - رنگ (لبه)	٪ سبز آبی (مرکز) ٪ سبز کمرنگ (لبه) ٪ سبز زرد (مرکز) ٪ سبز مایل به زرد کم - رنگ (لبه)	٪ سبز آبی (مرکز) ٪ سبز کمرنگ (لبه) ٪ سبز زرد (مرکز) ٪ سبز مایل به زرد کم - رنگ (لبه)
راستایابی	b = β	b = β	b = β	b = β
زاویه خاموشی c [□] γ	۲۱° مرکز؛ ۱۶° لبه؛	۱۷° مرکز؛ ۱۰° لبه؛	۱۵° مرکز؛ ۱۰° لبه؛	
شکست مضاعف	مرکز: ۰,۰۱۸ لبه: ۰,۰۱۰	مرکز: ۰,۰۱۴ لبه: ۰,۰۱۳	مرکز: ۰,۰۱۸ لبه: ۰,۰۱۱	
رنگ تداخلی	مرکز: قرمز نارنجی سری اول لبه: خاکستری سری اول	مرکز: زرد مایل به - نارنجی سری اول لبه: خاکستری سری اول	مرکز: نارنجی مایل به - قرمز سری اول لبه: خاکستری سری اول	

آمفیبول‌های گروه $(\text{Ca}+\text{Na})_{\text{M4}} < 1.00$ Mg-Fe-Mn-Li با $\text{Mg}/(\text{Mg},\text{Fe},\text{Mn},\text{Li})_{\text{M4}} \geq 1.00$ گروه کلسیمی، با $\text{Ca}_{\text{M4}} \square 1.50$ و $\text{Na}_{\text{M4}} < 0.50$ گروه $\text{Na}_{\text{M4}} \geq 1.00$ سدیمی - کلسیمی با $(\text{Ca}+\text{Na})_{\text{M4}} \geq 1.00$ و $\text{Na}_{\text{M4}} \geq 1.50$ و گروه سدیمی با $0.50 < \text{Na}_{\text{M4}} < 1.50$ برپایه این روش، آمفیبول‌های مورد بررسی در دو با ترکیب اکتینولیت وابسته به گروه آمفیبول‌های کلسیمی و ترکیبات ریشتربیت و وینچیت وابسته به گروه آمفیبول‌های سدیمی - کلسیمی رده طبقه‌بندی می‌شوند. مرکز آمفیبول‌های مورد بررسی (نقاط C₁, C₂, C₃, C₄, C₂₅, C₂₆, C₃₈, C₄₁) دارای ترکیب وینچیت و ریشتربیت است، در حالیکه لبه آن‌ها (نقاط R₅, R₆, R₇, R₈, R₂₉, R₃₀, R₄₂, R₄₃) بیشتر ترکیب اکتینولیتی دارند (جدول‌های ۳ تا ۴ و شکل ۵).

ترکیب شیمیایی

آمفیبول‌های شماره ۲، ۴ و ۱۲ که ویژگی‌های نوری آن‌ها بررسی شد، تجزیه نقطه‌ای نیز شدند که نتایج آن‌ها در جدول‌های ۲ تا ۴ ارائه شده‌اند. در این پژوهش برای نامگذاری آمفیبول‌ها از روش لیک و همکاران [۱۷] استفاده شد. در این روش، بر اساس ترکیب شیمیایی اعضای گروه آمفیبول از فرمول عمومی A_{0.1}B₂C₅T₈O₂₂(OH)₂ استفاده می‌شود که در آن A, B, C, و T OH و جایگاه‌های کاتیونی هستند. A_{0.1}B₂C₅T₈O₂₂(OH)₂ نشانگر کاتیون‌های بزرگ و B نشان دهنده کاتیون‌های در دو جایگاه M₄ است. C یک جایگاه پنجتایی مرکب از دو جایگاه M₁, دو M₂ و یک جایگاه M₃ بوده و جایگاه T نیز هشت جایگاه به ازای هر واحد فرمولی است. در این روش، آمفیبول‌ها بر اساس جایگاه B یا M₄ به ۴ گروه تقسیم می‌شوند که شامل

جدول ۲ نتایج تجزیه نقطه‌ای برای آمفیبول شماره ۱۲. (قطع Y-15) فرمول ساختاری و محاسبه مقدار Fe^{3+} با استفاده از نرم‌افزار AX [۱۲] انجام شده است.

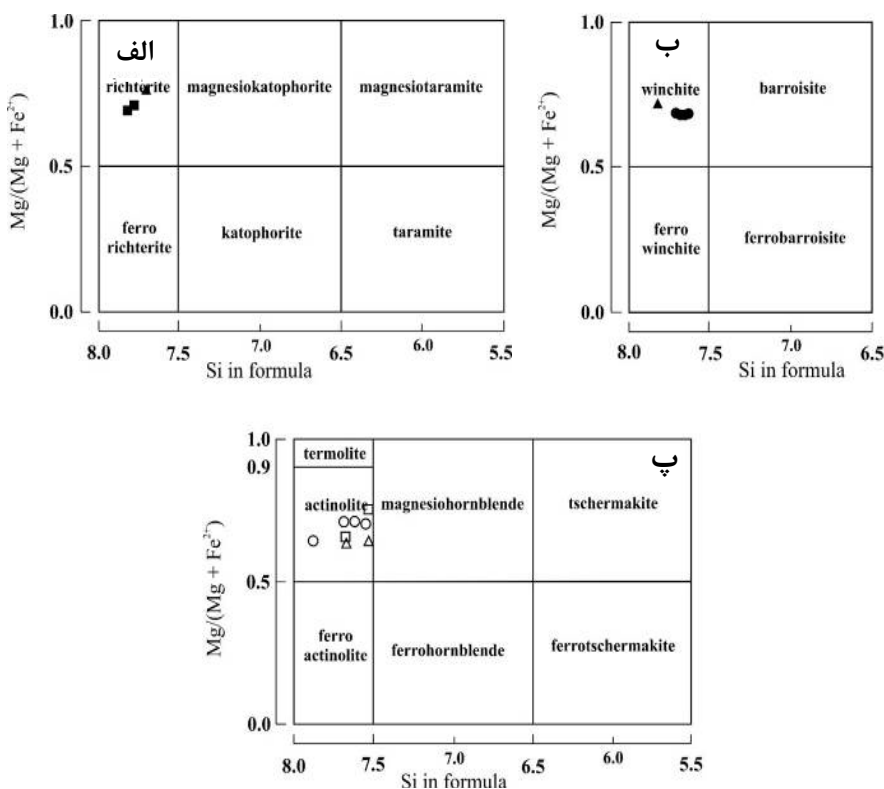
شماره نقطه	C1	C2	C3	C4	R5	R6	R7	R8
SiO_2	۵۳.۶۹	۵۴.۰۴	۵۲.۷۳	۵۴.۱۳	۵۴.۲۱	۵۳.۰۱	۵۳.۸۶	۵۴.۱۱
TiO_2	.۱۲	.۲	.۰۹	.۰۸	.۰۲	.۰۱	.۱۵	.۱۷
Al_2O_3	۷.۷۱	۷.۹۸	۸.۳۱	۸.۰۲	۳.۱۲	۲.۸۶	۳.۰۱	۲.۵۷
Fe_2O_3	.۰۰	.۰۰	.۰۰	.۰۲۱	۲.۳۶	۱.۹۷	۱.۷۹	.۰۰
FeO	۱۰.۳۶	۱۱.۲۳	۱۰.۹۷	۱۱.۴۲	۱۰.۸۶	۱۱.۲۴	۱۱.۰۴	۱۳.۱۱
MnO	.۵	.۶۱	.۱۵	.۱۴	.۰۸	.۱۰	.۱۲	.۱۲
MgO	۱۲	۱۱.۸۳	۱۱.۵۶	۱۲.۲۵	۱۵.۶۱	۱۶.۰۱	۱۵.۸۷	۱۴.۲۳
CaO	۶.۶۶	۷.۱۲	۸.۰۱	۶.۶۸	۱۰.۳۰	۱۱.۲۳	۱۱	۱۲.۰۴
Na_2O	۵.۱۲	۳.۸۳	۴.۲۷	۴.۳۸	۲.۰۱	۲	۱.۸۶	۱.۶۷
K_2O	.۱	.۲۱	.۱۲	.۱۳	.۰۱	.۰۰	.۰۳	.۰۴
مجموع	۹۶.۵۳	۹۷.۰۵	۹۷.۲۱	۹۷.۴۴	۹۸.۵۸	۹۸.۴۳	۹۸.۸۱	۹۸.۰۶
No.Ox	$O = ۲۲$							
$\text{Si}^{(I)}$	۷.۷۱۵	۷.۶۹۶	۷.۶۴۶	۷.۶۷۵	۷.۶۹۵	۷.۵۹۰	۷.۶۴۹	۷.۷۸۶
$\text{Ti}^{(\text{Oct})}$.۰۰۳	.۰۲۱	.۰۱	.۰۰۹	.۰۰۲	.۰۰۱	.۰۱۶	.۰۱۸
$\text{Al}^{(I)}$.۰۲۸۵	.۰۳۰۴	.۰۳۵۴	.۰۳۲۵	.۰۳۰۵	.۰۴۱	.۰۳۵۱	.۰۲۱۴
$\text{Al}^{(\text{Oct})}$	۱.۰۱۵	۱.۰۴۶	۱.۰۴	۱.۰۱۶	.۰۲۱۷	.۰۰۷۳	.۰۱۵۳	.۰۲۲۲
$\text{Fe}^{3+}(\text{Oct})$.۰۰	.۰۰	.۰۰	.۰۰۲۲	.۰۲۵۲	.۰۲۱۲	.۰۱۹۱	.۰۰
$\text{Fe}^{2+}(\text{Oct})$	۱.۲۳۹	۱.۲۳۷	۱.۳۰	۱.۳۵۵	۱.۲۸۹	۱.۲۴۶	۱.۲۱۱	۱.۵۷۸
$\text{Mn}^{(\text{Oct})}$.۰۰۶۱	.۰۰۷۴	.۰۰۱۸	.۰۰۱۷	.۰۰۱	.۰۰۱۲	.۰۰۲۴	.۰۰۱۵
$\text{Mg}^{(\text{Oct})}$	۲.۵۵۷	۲.۵۱۱	۲.۴۵۲	۲.۵۰۹	۲.۴۰۲	۲.۴۱۶	۲.۴۵۹	۳.۰۵۲
$\text{Ca}^{(\text{M4})}$	۱.۰۲۰	۱.۰۸۶	۱.۲۲۱	۱.۱۵	۱.۰۶۷	۱.۷۲۳	۱.۶۷۴	۱.۸۵۶
$\text{Na}^{(\text{M4})}$.۹۸	.۹۱۴	.۷۷۹	.۹۸۵	.۴۳۳	.۲۷۷	.۲۲۶	.۱۴۴
$\text{Na}^{(\text{A})}$.۴۳۹	.۱۴۴	.۰۳۹۹	.۰۲۱۹	.۰۱۲	.۰۲۷۸	.۰۱۸۶	.۰۳۲۲
$\text{K}^{(\text{A})}$.۰۱۸	.۰۲۸	.۰۰۲	.۰۰۲۴	.۰۰۰۲	.۰۰۰	.۰۰۰۵	.۰۰۰۷
مجموع	۱۵.۳۴۱	۱۵.۱۶۱	۱۵.۲۴۷	۱۵.۲۴۹	۱۵.۱۹۴	۱۵.۲۳۹	۱۵.۲۴۶	۱۵.۲۱۴

جدول ۳ نتایج تجزیه نقطه‌ای آمفیبول شماره ۲ (قطع Y-15). فرمول ساختاری و محاسبه مقدار Fe^{3+} با استفاده از نرم‌افزار AX [۱۲] انجام شده است.

نام کانی	Amphibole 2			
شماره قطع	Y-15			
مرکز لبه	هسته	هسته	لبه	لبه
شماره نقطه	C25	C26	R29	R30
SiO_2	۵۵.۸۶	۵۶.۳۱	۵۴.۱۲	۵۳.۸۶
TiO_2	.۳۲	.۲	.۳۱	.۲۱
Al_2O_3	۸.۶۵	۹.۰۱	۵.۰۱	۵.۶۱
Fe_2O_3	.۰۰	.۰۰	.۰۱۸	۲.۲۳
FeO	۸.۴۵	۸.۶۱	۱۲.۱۴	۹
MnO	.۰۲	.۰۲	.۰۰۴	.۰۰۶
MgO	۱۱.۶۴	۱۲.۱	۱۴.۱۲	۱۵.۶۱
CaO	۶.۰۱	۵.۶۳	۹.۵۵	۹.۸۶
Na_2O	۶.۴۱	۶.۴۱	۲.۸۵	۲.۱۲
K_2O	.۰۰۲	.۰۰	.۰۰۷	.۰۰۴
مجموع	۹۷.۳۸	۹۸.۳۸	۹۸.۴	۹۸.۸۰
No.Ox	$O = ۲۲$			
$\text{Si}^{(I)}$	۷.۸۰۶	۷.۷۷۵	۷.۸۱	۷.۵۵۵
$\text{Ti}^{(\text{Oct})}$.۰۰۳۴	.۰۰۲۱	.۰۰۳۳	.۰۰۲۲
$\text{Al}^{(I)}$.۰۱۹۴	.۰۲۱۵	.۰۳۱۹	.۰۴۴۵
$\text{Al}^{(\text{Oct})}$	۱.۲۲۱	۱.۲۵۳	.۰۵۱۹	.۰۴۸۳
$\text{Fe}^{3+}(\text{Oct})$.۰۰	.۰۰	.۰۰۲	.۰۲۳۵
$\text{Fe}^{2+}(\text{Oct})$.۹۸۸	.۹۹۵	۱.۴۴۱	۱.۰۵۶
$\text{Mn}^{(\text{Oct})}$.۰۰۲	.۰۲۳	.۰۰۵	.۰۰۷
$\text{Mg}^{(\text{Oct})}$	۲.۴۲۴	۲.۴۷۴	۲.۹۸۷	۳.۲۶۳
$\text{Ca}^{(\text{M4})}$.۹	.۸۳۴	۱.۵	۱.۵
$\text{Na}^{(\text{M4})}$	۱.۱	۱.۱۶۶	.۵۴۸	.۵۱۸
$\text{Na}^{(\text{A})}$.۸۳۷	.۵۵۲	.۲۳۶	.۰۵۹
$\text{K}^{(\text{A})}$.۰۰۴	.۰۰	.۰۱۳	.۰۰۷
مجموع	۱۵.۲۱۸	۱۵.۲۲۱	۱۵.۲۵۵	۱۵.۱۳۳

جدول ۴ نتایج تجزیه نقطه‌ای برای آمفیبول شماره ۴ (قطع ۱۵-Y). فرمول ساختاری و محاسبه مقدار Fe^{3+} با استفاده از نرم‌افزار AX [۱۲] انجام شده است.

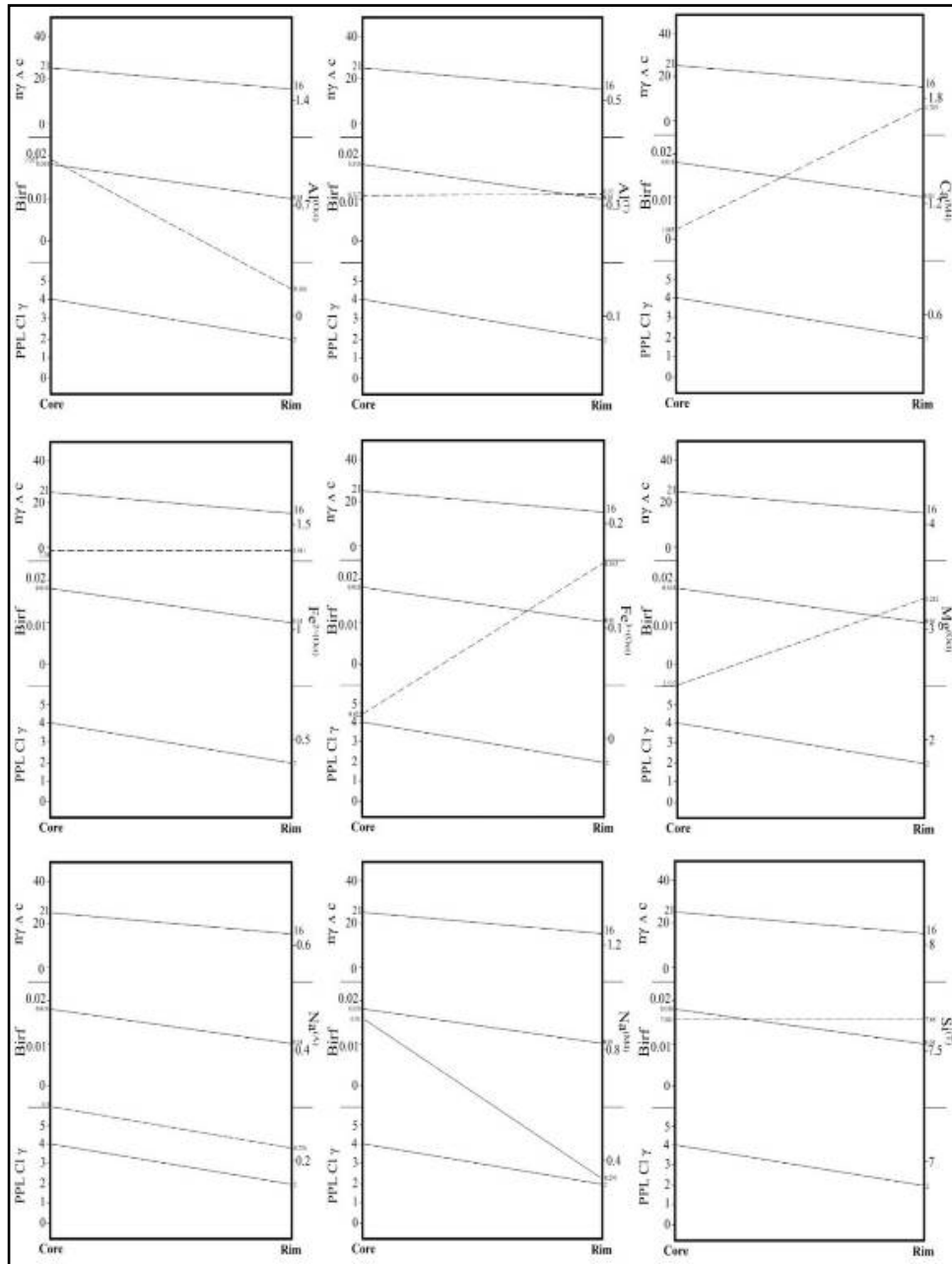
نام کانی	Amphibole 4			
شماره مقطع	Y-15			
مرکز لبه	هسته	هسته	لبه	لبه
شماره نقطه	C38	C41	R42	R43
SiO_2	۵۶.۱۴	۵۷.۰۱	۵۲.۴۱	۵۴.۶۵
TiO_2	۰.۰۴	۰.۱۲	۰.۱۲	۰.۱۳
Al_2O_3	۱۱.۶۱	۱۱.۴۳	۷.۴۱	۷.۲۳
Fe_2O_3	۰.۰۰	۰.۰۰	۰.۵۱	۰.۰۰
FeO	۶.۹۷	۶.۱۲	۹.۶۷	۱۱.۲۱
MnO	۰.۱	۰.۱۴	۰.۱۱	۰.۲
MgO	۱۱.۶۱	۱۰.۸۶	۱۴.۶۱	۱۲.۰۱
CaO	۴.۵۳	۴.۳۵	۱.۰	۹.۸۷
Na_2O	۷.۱۳	۶.۸۵	۲.۳۱	۲.۰۱
K_2O	۰.۰۴	۰.۱	۰.۰۱	۰.۰۳
مجموع	۹۸.۱۷	۹۶.۹۸	۹۸.۱۶	۹۸.۳۴
No.O _x	$O = ۲۳$			
$\text{Si}^{(\text{T})}$	۷.۸۹۱	۷.۸۴۲	۷.۵۰۹	۷.۸۷۶
$\text{Ti}^{(\text{Oct})}$	۰.۰۰۴	۰.۰۱۲	۰.۰۱۳	۰.۰۱۴
$\text{Al}^{(\text{T})}$	۰.۳۰۹	۰.۱۵۸	۰.۴۹۱	۰.۲۲۴
$\text{Al}^{(\text{Oct})}$	۱.۰۵۶	۱.۶۹۶	۰.۷۳۷	۰.۸۷۳
$\text{Fe}^{3+}(\text{Oct})$	۰.۰۰	۰.۰۰	۰.۰۵۴	۰.۰۰
$\text{Fe}^{2+}(\text{Oct})$	۰.۷۹۹	۰.۷۰۴	۱.۱۳۷	۱.۳۱۷
$\text{Mn}^{(\text{Oct})}$	۰.۰۱۲	۰.۰۱۶	۰.۰۱۳	۰.۰۲۴
$\text{Mg}^{(\text{Oct})}$	۲.۳۷۱	۲.۲۲۶	۳.۰۶۱	۲.۷۷۳
$\text{Ca}^{(M4)}$	۰.۴۶۵	۰.۴۱	۱.۵۰۶	۱.۵
$\text{Na}^{(M4)}$	۱.۳۳۵	۱.۳۵۹	۰.۴۹۴	۰.۵۱۵
$\text{Na}^{(\text{A})}$	۰.۵۵۹	۰.۴۶۸	۰.۱۳۶	۰.۳۲
$\text{K}^{(\text{A})}$	۰.۰۰۷	۰.۰۱۸	۰.۰۰۲	۰.۰۰۵
مجموع	۱۵.۳۱۷	۱۵.۱۴۱	۱۵.۱۵۳	۱۴.۹۸۸



شکل ۵ نمودار رده‌بندی آمفیبول‌های سدیمی - کلسیمی (الف و ب) و آمفیبول‌های کلسیمی (پ) [۱۷] در اکتینولیت شیسته‌های بازی منطقه شاهنشین. (■ مرکز آمفیبول؛ ▲ مرکز آمفیبول؛ ● مرکز آمفیبول؛ □ لبه آمفیبول؛ Δ لبه آمفیبول ۴ و لبه بلور ۱۲).

مقادیر میانگین Na^A و Na^{M4} ، Al^{Oct} که در مرکز بلور به ترتیب عبارتند از 0.914 ± 0.027 و 3.00 ± 0.27 و در لبه بلور برابر با 0.166 ± 0.295 و 0.226 ± 0.026 هستند. مقادیر Si و Al^T از مرکز به لبه تغییر نکرده‌اند (جدول ۲ و شکل ۶). با در نظر گرفتن تغییرات کاتیون‌ها از مرکز به سمت لبه، مهمترین جانشینی رخ داده عکس جانشینی گلوکوفانی است.

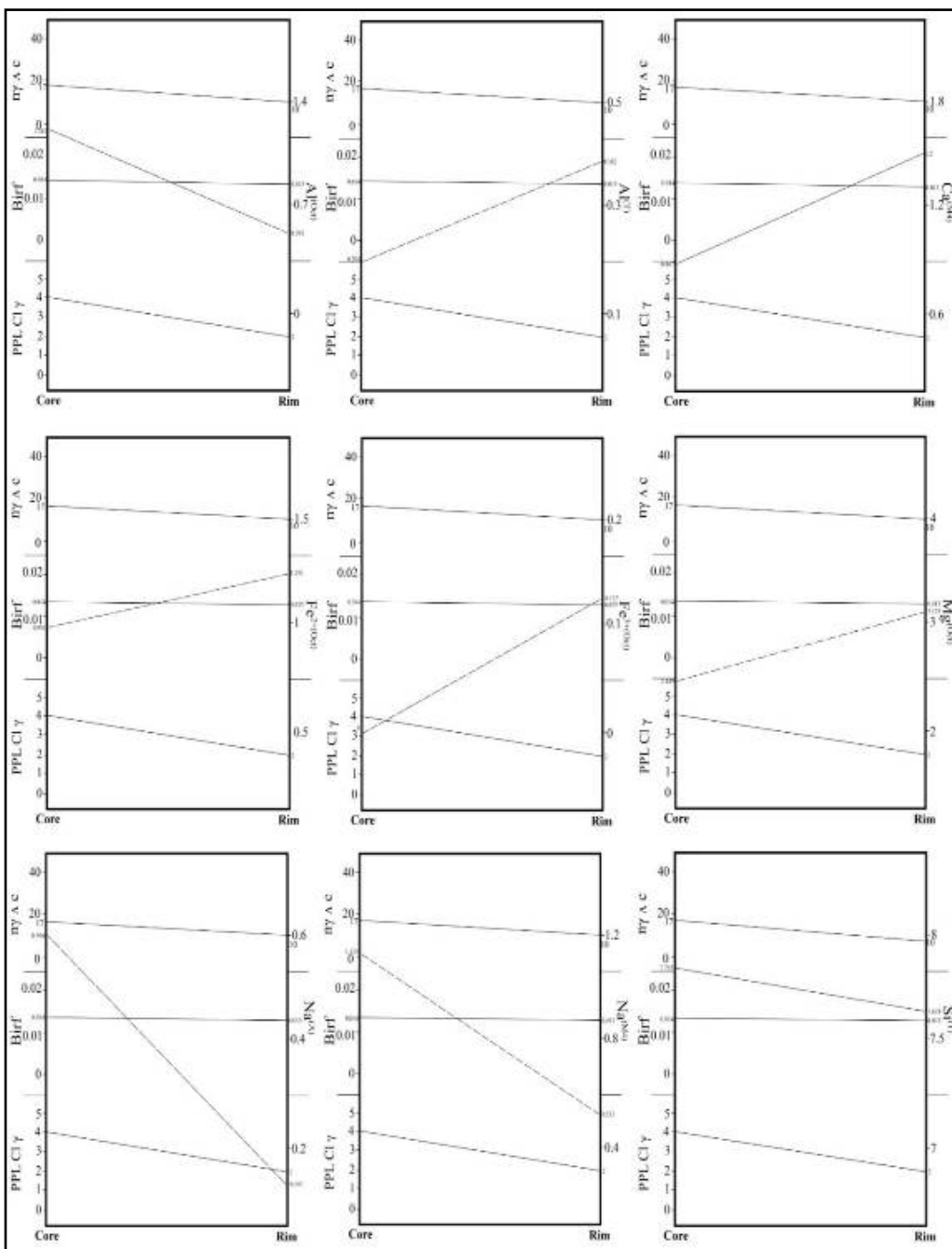
در آمفیبول شماره ۱۲ از مرکز به سمت لبه بلور، مقادیر Fe^{3+Oct} و Fe^{2+Oct} افزایش یافته، در حالی که مقادیر $\text{Na}_{(A)}$ و $\text{Na}_{(M4)}$ کاهش می‌یابد. مقادیر میانگین Ca^{M4} و Mg^{Oct} در مرکز بلور به ترتیب 0.38 ± 0.02 و 0.02 ± 0.01 هستند. همچنین برابر با 2.527 ± 1.08 ، 1.309 ± 1.02 و در لبه بلور به ترتیب 1.381 ± 1.705 ، 1.163 ± 0.282 هستند. همچنین



شکل ۶ نمودار تغییرات کاتیون‌ها نسبت به ویژگی‌های نوری اندازه‌گیری شده از مرکز به سمت لبه در آمفیبول شماره ۱۲ اعداد ۱، ۲، ۳، ۴ و ۵ به ترتیب نشانگر رنگ زرد، سبز زرد، سبز کمرنگ، سبز آبی و آبی در نور عادی هستند. خط ممتد نشان دهنده تغییرات زاویه خاموشی، شکست مضاعف و رنگ در نور عادی بوده و خط چین نشانگر تغییرات عنصر در جایگاه‌های مختلف هم‌آرایی هستند. (c) $m\gamma$ = زاویه خاموشی و محور c بلورشناسی؛ Birf = شکست مضاعف و ppl = رنگ عادی).

Na^{A} در مرکز بلور ۲ به ترتیب عبارتند از ۰,۷۷۸۹، ۰,۵۵۷، ۰,۵۳۷، ۰,۶۷۷ و ۰,۱۲۲ و در لبه بلور برابر با ۰,۵۲ و ۰,۴۶ می‌باشد. در اینجا نیز مهمترین جانشینی رخ داده عکس جانشینی گلوکوفانی است. البته نسبت به بلور ۱۲، جانشینی پلازیوکلазی $\text{Ca}_{\text{M4}}^{\text{M4}} \text{Al}^{\text{T}} \text{Na}^{\text{M4}} \text{Si}^{\text{T}}$ نیز $\text{Ca}_{\text{M4}}^{\text{M4}} \text{Al}^{\text{T}} \text{Na}^{\text{M4}}$ و Si^{T} نسبتی تغییر ترکیب شیمیایی از مرکز به لبه بلور شماره ۲ شده است.

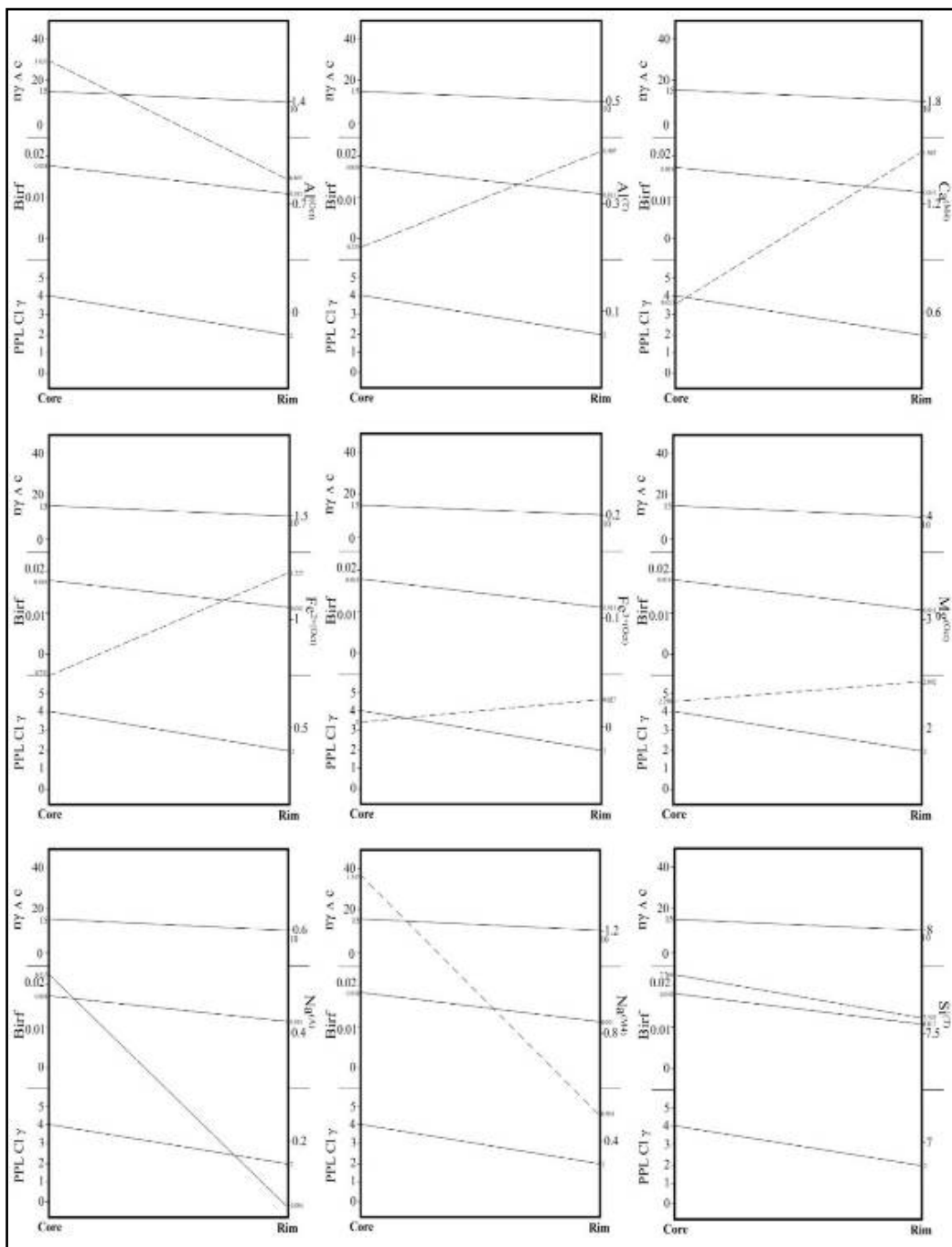
در آمفیبول شماره ۲ از مرکز به سمت لبه بلور، مقادیر Al^{T} ، $\text{Fe}^{3+\text{Oct}}$ ، $\text{Fe}^{2+\text{Oct}}$ ، Ca^{M4} ، Mg^{Oct} و Si^{T} افزایش یافته در حالی که مقادیر Na^{A} ، Al^{Oct} و Na^{M4} کاهش پیدا کرده‌اند. مقادیر میانگین Ca^{M4} ، Mg^{Oct} و Al^{T} در مرکز بلور ۲ به ترتیب عبارتند از ۰,۰۰۰، ۰,۱۱۱، ۰,۸۷۷، ۰,۰۰۸، ۰,۱۳۱، ۰,۴۶۴ و ۰,۰۰۸ و در لبه بلور برابر با ۰,۰۰۰، ۰,۰۰۰، ۰,۰۰۰ و ۰,۰۳۲ هستند. همچنین، مقادیر میانگین Si^{T} و Na^{M4} میانگین، مقادیر میانگین Si^{T} و Na^{M4} هستند.



شکل ۷ نمودار تغییرات کاتیون‌ها نسبت به ویژگی‌های نوری اندازه‌گیری شده از مرکز به سمت لبه در آمفیبول شماره ۲. نشانه‌های به کار رفته مانند شکل ۶ هستند

در آمفیبول شماره ۴ از مرکز به سمت لبه بلور، مقادیر Na^{A} و Na^{M4} و Al^{Oct} ، Si^{T} در مرکز بلور به ترتیب عبارتند از ۰.۰۴۸، ۱.۲۲۴، ۰.۷۶۶، ۱.۳۴۷، ۱.۶۳۱ و ۰.۵۱ و این مقادیر در لبه بلور برابر با ۰.۰۵۸، ۰.۰۶، ۰.۸۲۲، ۰.۶۴۲ و ۰.۰۵۸ هستند. در بلور شماره ۴ نیز تغییرات کاتیونی از مرکز به سمت لبه با عکس جانشینی گلوکوفانی و به مقدار کمتر پلاژیوکلازی رخداده است (جدول ۴ و شکل ۸).

در آمفیبول شماره ۴ از مرکز به سمت لبه بلور، مقادیر $\text{Fe}^{3+\text{Oct}}$ ، $\text{Fe}^{2+\text{Oct}}$ ، Ca^{M4} ، Mg^{Oct} و Al^{T} افزایش یافته در حالی که مقادیر Si^{T} ، Na^{A} و Na^{M4} ، Al^{Oct} کاهش پیدا کرده‌اند. مقادیر میانگین Mg^{Oct} ، Ca^{M4} و Al^{T} در مرکز بلور ۴ به ترتیب عبارتند از ۰.۷۵۱، ۰.۶۵۳، ۰.۲۹۸ و ۰.۰۰۰ و این مقادیر در لبه بلور برابرند با ۰.۸۸۵، ۰.۲۳۳، ۰.۴۳۲ و ۰.۲۳۳.



شکل ۸ نمودار تغییرات کاتیون‌ها نسبت به ویژگی‌های نوری اندازه‌گیری شده از مرکز به سمت لبه در آمفیبول شماره ۴. نشانه‌های به کار رفته مانند شکل ۶ هستند

- [2] Veblen D. R., & Ribbe P. H. “*Amphiboles: Petrology and experimental phase relation*”, *Reviews in Mineralogy* (1982) 390p.
- [3] Gilbert M. C., Helz R. T., Popp R. K., Spear F. S., Veblen D. R., Ribbe, P. H., “*Amphiboles: petrology and experimental phase relations*”, *MSA Reviews in Mineralogy* 9 (1982) 231-267.
- [4] Deer W.A., Howher. a., Zussman. J., “*An introduction to the rock forming minerals*”, Longman Scientific and Technical, England (1992) 581p.
- [5] Spear F.S., “*Metamorphic phase equilibria and pressure- temperature- time path*”, Mineralogical Society of America, Washington (1995) 799p.
- [6] Izadyar J., “*Optical characters, chemical composition and formation mechanism of colorless sodic and sodic-calcic amphiboles in piemontite-quartz schists from high P-low T Sanbagawa metamorphic belt in central Shikoku, Japan*”, *Iranian Journal of Crystallography and Mineralogy* 13(1) (2005) 135-154 (in Persian).
- [7] Nasrabadi M., Roseti F., Moein vVaziri H., Razavi M. H., Mojatal M., “*Mineralogy and thermobarometry of blueschists from Soltan Abad metamorphic complex (NE Sabzevar)*”, *Iranian Journal of Crystallography and Mineralogy* 20(1) (2013) 123-140 (in Persian).
- [8] Nasrabadi M., Gholizadeh K., “*Thermobarometry and tectonic setting of metamorphic rocks from the ophiolitic complex of north Torbat-E-Heidarieh*”, *Iranian Journal of Crystallography and Mineralogy* 24(2) (2016) 355-370 (in Persian).
- [9] Hajalioghi R., “*Mineral chemistry, P-T and tectonometamorphic evolutions of garnet amphibolites from the Takht-e-Soleyman*”, *Iranian Journal of Crystallography and Mineralogy* 25(4) (2018) 749-760 (in Persian).
- [10] Hosseini B., Ahmadi A. R., “*Structural and thermobarometric investigations of metamorphic rocks in the north of Asadabad (Sanandaj-Sirjan zone)*”, *Iranian Journal of Crystallography and Mineralogy* 27(1) (2019) 151-166 (in Persian).
- [11] Borg I. Y., “*Optical properties and cell parameters in the glaucophane-riebeckite series*”, *Contributions to Mineralogy and Petrology* 15(1) (1967) 67-92.

برداشت

با همخوانی نتایج به دست آمده از شیمی کالی آمفیبول و ویژگی‌های نوری، می‌توان گفت که ارتباط روشی میان تغییر ترکیب شیمیایی و تغییر ویژگی‌های نوری از مرکز به سمت لبه بلور وجود دارد.

در آمفیبول شماره ۱۲، افزایش کاتیون‌های $\text{Ca}^{\text{M}4}$, Mg^{Oct} , Na^{A} و Al^{Oct} و کاهش کاتیون‌های $\text{Fe}^{3+\text{Oct}}$, $\text{Fe}^{\text{e}^{2+\text{Oct}}}$ از مرکز به سمت لبه بلور نشانگر عکس جانشینی گلوکوفانی $\text{Na}_{-1}^{\text{M}4}\text{Al}^{\text{Oct}}\text{Ca}^{\text{M}4}\text{Mg}^{\text{Oct}}$ بوده که باعث تغییر ویژگی‌های نوری از جمله کاهش شکست مضاعف، زاویه خاموشی و تغییر رنگ تداخلی در راستاهای $n\gamma$ و $n\alpha$ (برای $n\gamma$ رنگ سبز مایل به آبی در مرکز و رنگ سبز مایل به زرد در لبه و برای $n\alpha$ رنگ سبز مایل به زرد در مرکز و رنگ زرد مایل به سبز در لبه) شده است (شکل ۶). در آمفیبول‌های شماره ۲ و ۴، افزایش کاتیون-های $\text{Fe}^{3+\text{Oct}}$, $\text{Fe}^{2+\text{Oct}}$, $\text{Ca}^{\text{M}4}$, Mg^{Oct} و کاهش کاتیون-های Si^{T} , Al^{Oct} , Na^{A} و $\text{Na}^{\text{M}4}$ نشانگر جانشینی عکس گلوکوفانی $(\text{Na}_{-1}^{\text{M}4}\text{Al}^{\text{Oct}}\text{Ca}^{\text{M}4}\text{Mg}^{\text{Oct}})$ و جانشینی پلازیوکلازی $(\text{Na}_{-1}^{\text{M}4}\text{Ca}^{\text{M}4}\text{Al}^{\text{T}}\text{Si}^{\text{T}}_{-1})$ است (شکل‌های ۷ و ۸). عکس جانشینی گلوکوفانی به علت کاهش فشار و جانشینی پلازیوکلازی به علت افزایش دما طی دگرگونی رخ می‌دهد [۵]. از سوی دیگر، برآورد فشار - دمای تشکیل آمفیبول‌ها با توجه به ترکیب شیمیایی مرکز و لبه آمفیبول‌ها [۱۹، ۱۸] نشان می‌دهد که مرکز آن‌ها در شرایط فشار و دمای بالاتری نسبت به لبه آن‌ها ایجاد شده‌اند. از این رو، ساختار منطقه‌بندی نوری و شیمیایی دیده شده در آمفیبول‌های شیسته‌های بازی منطقه شاهنشین به دلیل تغییر شرایط فشار و دمای دگرگونی تشکیل شده است.

قدرتانی

نویسنده‌گان مقاله از مسؤولین محترم دانشگاه زنجان برای حمایت‌های مالی در انجام این پژوهش قدردانی می‌نمایند.

مراجع

- [1] Hawthorne, F.C. and Veblen, D.R., “*Amphiboles and other hydrous pyriboles-mineralogy*”, *Reviews in Mineralogy* (1981) 1-102.

- [16] Klein C. and Hurlbut Jr C. S., “*Manual of Mineralogy. John Wiley & Sons. Inc*”, New York (1999) 681p.
- [17] Leak B.E., The IMA Commission, “*Nomenclature of amphiboles. Report of the sub-committee on Amphiboles of the international mineralogical Association on New–Minerals and mineral names*”, Eur J Mineral 9 (1997) 623 -651.
- [18] Spear F. S., & Silverstone J., “*Quantitative PT paths from zoned minerals: theory and tectonic applications*”, Contributions to Mineralogy and Petrology 83(3-4) (1983) 348-357.
- [19] Holland T. J., & Richardson S. W., “*Amphibole zonation in metabasites as a guide to the evolution of metamorphic conditions*”, Contributions to Mineralogy and Petrology 70(2) (1979) 143-148.
- [12] Holland T. J. B., and Powell R., “*An internally consistent thermodynamic data set with uncertainties and correlations: The system Na₂O-K₂O-CaO-MgO-MnO-FeO-Fe₂O₃-Al₂O₃-SiO₂-TiO₂-C-H₂-O₂*”, Journal of Metamorphic Geology 8 (1990) 89-124.
- [13] Fonoudi, M and Sayareh, A.R., “*Geology map of Yassoukand (Ghojor) 1:100000*” Geological Survey and Mineral Exploration of Iran (2000) (in Persian).
- [14] Pouromidi A., “*Petrography and thermodynamic studying of basic schists from Shahnešin metamorphic complex in north of Yasoukand, southwest of Zanjan*”, M.Sc. thesis in petrology, University of Zanjan (2016) (in Persian).
- [15] Whitney D. L., Evans B. W., “*Abbreviations for names of rock-forming minerals*”, American Mineralogist 95 (2010) 185-187.